

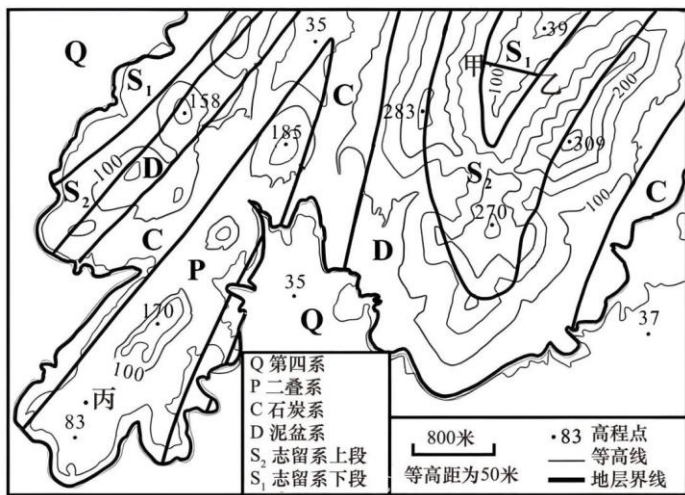
高三地理试题

1. 答题前，考生先将自己的姓名、考生号、座号填写在相应位置，认真核对条形码上的姓名、考生号和座号，并将条形码粘贴在指定位置上。
2. 选择题答案必须使用 **2B 铅笔**（按填涂样例）正确填涂；非选择题答案必须使用 **0.5 毫米黑色签字笔** 书写，字体工整、笔迹清楚。
3. 请按照题号在各题目的答题区域内作答，超出答题区域书写的答案无效；在草稿纸、试题卷上答题无效。保持卡面清洁，不折叠、不破损。

一、选择题(本大题共 15 小题，每小题 3 分，共 45 分。在每题列出的四个选项中，选出最符合题目要求的一项。)

下图示意“某区域地质分布”。该区沉积地层有 Q、P、C、D、S₂、S₁，其年代依次变老。

据此完成 1~2 题。



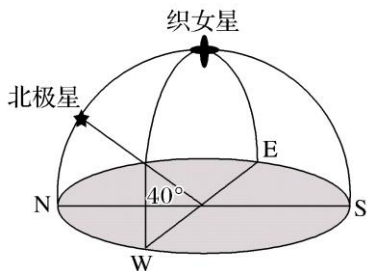
1. 从甲地到乙地的地形地质剖面示意图是

- A.
- B.
- C.
- D.

2. 在丙处垂直钻探取芯，不可能发现的地层是

- A. 志留系 B. 泥盆系 C. 石炭系 D. 第四系

我国某中学天文观测地理兴趣活动小组经常观察天空中的恒星运动规律，该小组某学生于北京时间 2017 年 10 月 12 日 21 时看到织女星正好位于天顶，此时该地的区时为 21 时，下图为此时北极星和织女星的位置示意图。读图完成 3~4 题。



3. 该地最可能位于

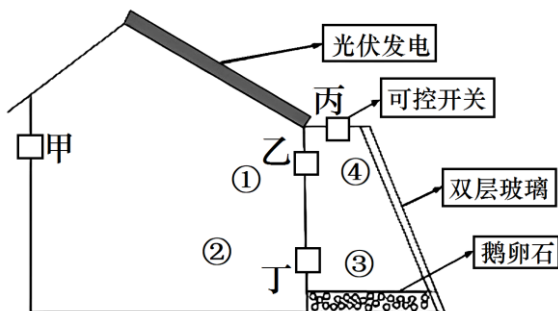
- A. 海南 B. 黑龙江
C. 西藏 D. 北京

4. 该学生想于 10 月 14 日在同样的位置再次观测到织女星位于天顶，彼时北京时间为

- A. 20 时 56 分 4 秒 B. 21 时 3 分 56 秒
C. 21 时 56 分 4 秒 D. 20 时 52 分 8 秒

节能建筑是指冬暖夏凉，通风日照合理，能源使用上耗电、耗气更少，还能隔音降噪的建筑。

下图为某“节能房示意图”，读图完成 5~6 题。



5. 从热力环流角度考虑，下列做法正确的是

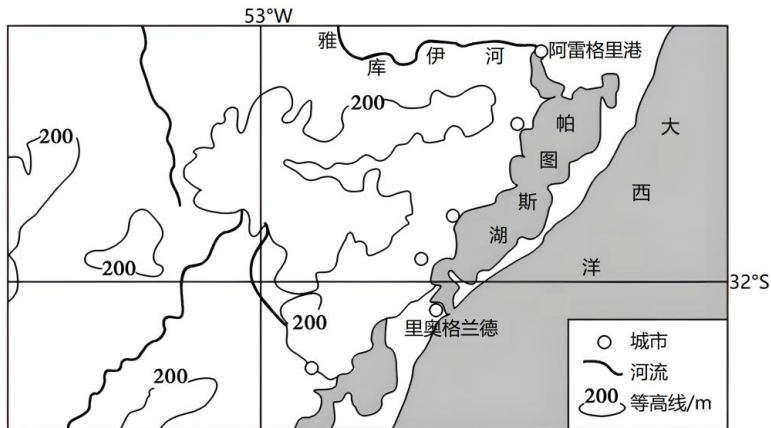
- A. 夏季乙、丁打开，甲、丙关闭 B. 夏季甲、丙、丁打开，乙关闭

- C. 冬季甲、丙打开，乙、丁关闭 D. 冬季甲、丙、丁打开，乙关闭

6. 冬季节能房中的气流运动方向正确的是

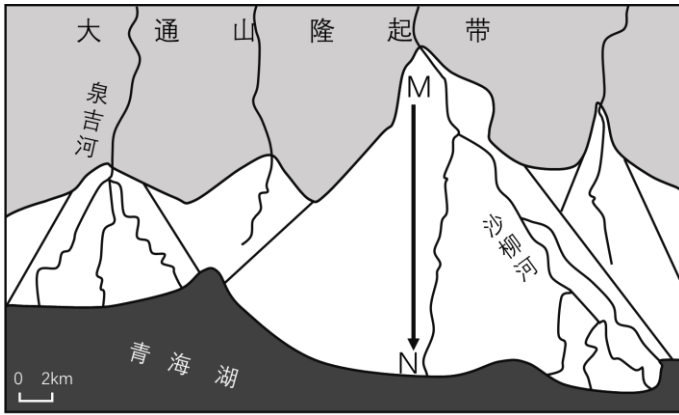
- A. ②到③ B. ①到④ C. ④到③ D. ②到①

潟湖是被沙嘴、沙坝或珊瑚分割而与外海相分离的局部海水水域。巴西最大的湖泊帕图斯湖为一潟湖，与大西洋仅隔一北宽南窄的沙坝，湖水最大深度仅 5 米，辟有人工航道。下图为帕图斯湖位置图。据此完成 7~9 题。

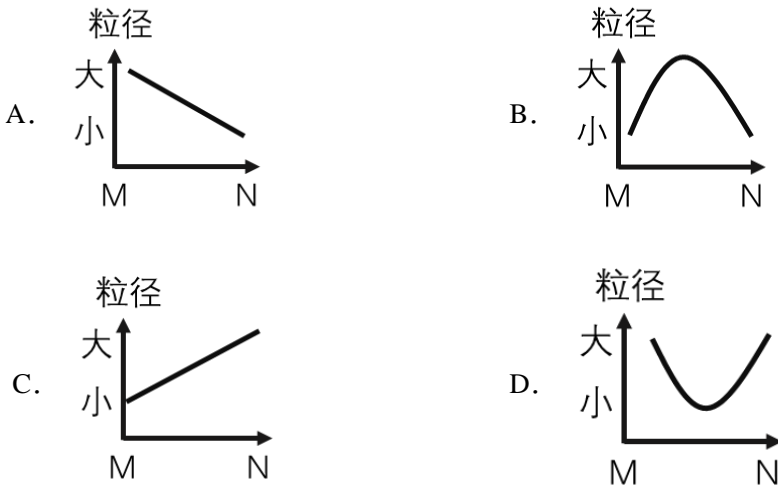


7. 帕图斯湖是雅库伊河和海水共同作用的产物，其海水作用
- A. 沿岸流自南向北搬运泥沙 B. 波浪不断侵蚀沿岸泥沙
- C. 波浪使泥沙平行海岸堆积 D. 沿岸流提供丰富的泥沙
8. 帕图斯湖东岸的沙坝
- A. 增加风暴潮冲刷海岸 B. 可作为港口防波堤
- C. 长度与宽度不断减小 D. 沉积物质颗粒杂乱
9. 推测帕图斯湖
- A. 随时间变化面积越来越大 B. 流域植被恢复可减缓沼泽化
- C. 径流增大湖泊深度也增加 D. 渔民人工养殖可减缓沼泽化

青海湖北岸发育有许多冲积扇，沙柳河（落差 1500 米、长度 105.8 千米、流域面积 1442 平方千米）和泉吉河（落差 1108 米、长度 65 千米、流域面积 567 平方千米）形成的冲积扇最典型。下图示意青海湖北岸冲积扇分布。据此完成 10~11 题。



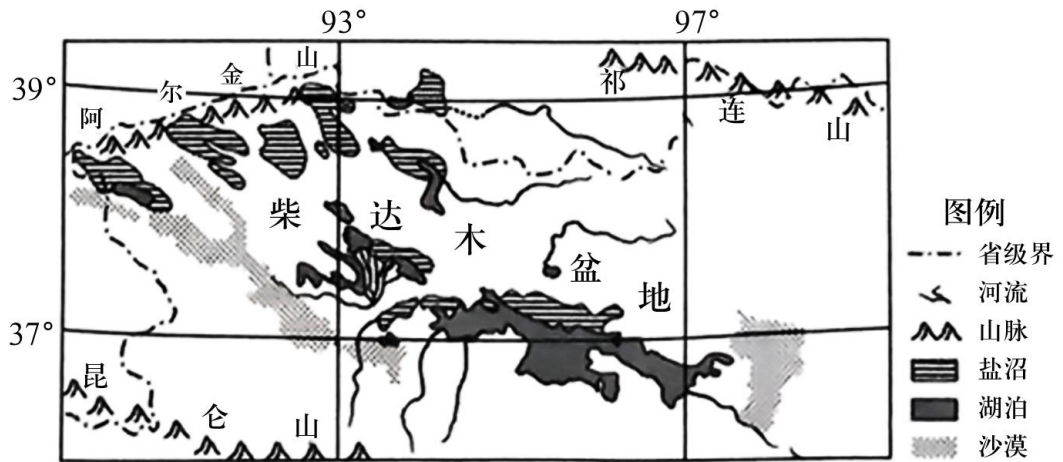
10. 由 M 到 N 沉积物平均粒径的变化趋势是



11. 与泉吉河相比，沙柳河冲积扇面积大的原因是

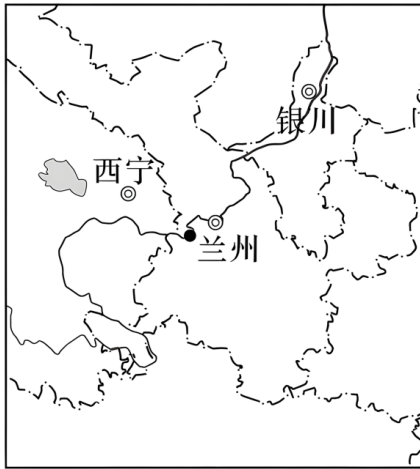
- A. 植被覆盖率低，碎屑物质多
- B. 流域面积广，搬运能力较弱
- C. 河流径流量大，携带泥沙多
- D. 年降水量丰富，河流汛期长

柴达木盆地是中国内陆河分布最多的盆地，同时也是世界上盐沼分布面积最大的地区。该地区的盐沼是由干旱区的沼泽湿地演化而成的，但是同在干旱区的塔里木盆地和准噶尔盆地却少有盐沼，反而形成面积广阔的沙漠。柴达木盆地内的盐沼一般分布在戈壁荒漠内，以湖泊为中心呈带状结构，湖周围是寸草不生的盐壳，外围生长有盐生、耐盐植物，甚至有草甸分布，但生态较脆弱，当地传统牧民一般在此放牧和制盐。下图为柴达木盆地位置及盐沼分布图。据此完成 12~13 题。

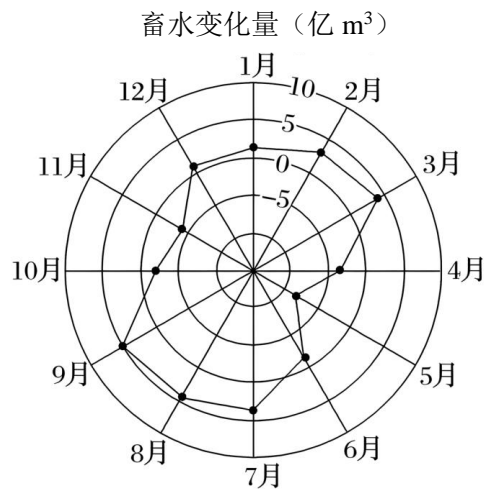


12. 与塔里木盆地相比，柴达木盆地形成大面积盐沼的有利条件有
- ①降水丰富，水源充足 ②气温低，蒸发弱
- ③地势低平，排水不畅 ④多冻土，地表水不易下渗
- A. ②③ B. ①③ C. ②④ D. ①④
13. 柴达木盆地盐沼的服务功能是
- A. 调节服务——抑制病虫害
- B. 调节服务——缓解土壤侵蚀
- C. 供给服务——提供渔业资源
- D. 供给服务——提供盐业资源

凌汛是冰凌堵塞河道，对水流产生阻力而引起江河水位明显上涨的水文现象。近年来，得益于刘家峡水库强大的调蓄能力，黄河上游宁夏段凌汛得到较大缓解。下面左图为“黄河上游刘家峡水库位置图”，右图为“刘家峡水库多年平均各月蓄水变化量图”。据此完成 14~15 题。



● 刘家峡水库位置



14. 据图判断, 刘家峡水库为防凌开闸放水和蓄水总量最少的月份分别是

- A. 11月、5月
- B. 11月、6月
- C. 2月、5月
- D. 2月、6月

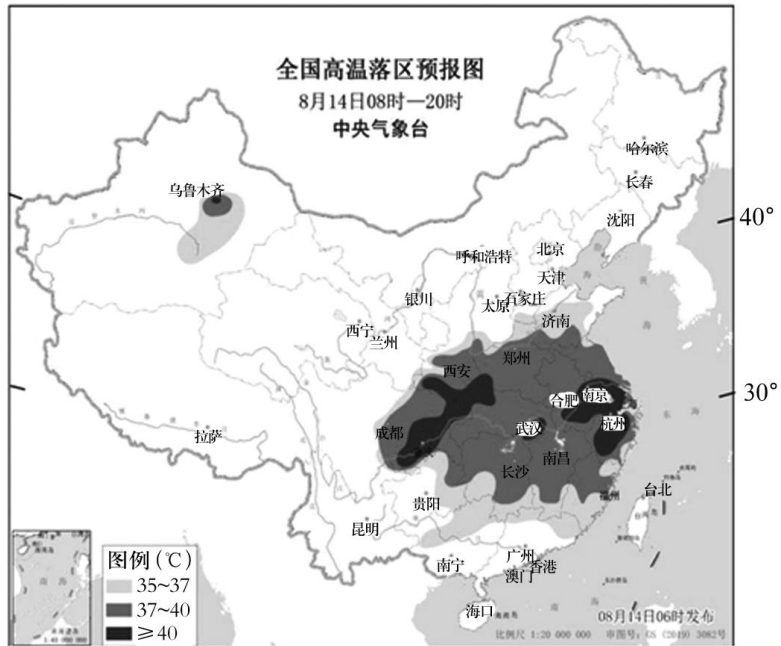
15. 刘家峡水库对其下游地区防凌的作用主要表现在

- A. 下泄水温较低, 推迟封冻时间
- B. 下泄水温较高, 提前解冻时间
- C. 下泄水温较低, 提前解冻时间
- D. 下泄水温较高, 推迟封冻时间

二、综合题 (共 4 大题, 55 分)

16. 阅读图文材料, 完成下列要求。(13 分)

2022 年夏天, 我国出现了持续时间长、影响范围大、综合强度强的高温干旱天气。尤其是长江流域的四川盆地、长江中下游平原, 许多气象观测站的日最高气温达到或突破历史极值, 并使得长江水位进入主汛期后持续退落, 出现了“汛期反枯”的罕见现象。据 8 月 14 日的天气预报, 吐鲁番盆地(最低海拔-153 米)和四川盆地的重庆北部气温分别达到 41°C 和 44°C。专家分析, 全球变暖和天气系统异常是导致今夏高温的主要原因, 若人类不积极应对, 今后这样的高温天气等极端事件将越来越多。图为 8 月 14 日天气预报图。



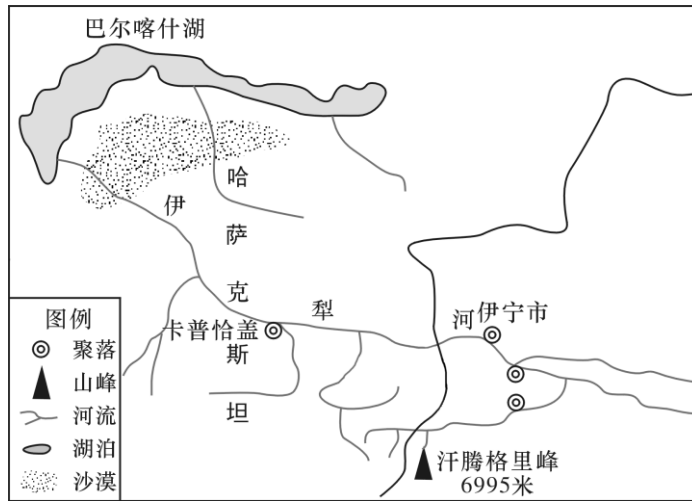
(1) 指出导致我国中东部高温的天气系统并分析受此影响长江流域出现“汛期反枯”现象的原因。(5分)

(2) 简析吐鲁番盆地和四川盆地两个高温区成因的差异。(4分)

(3) 对于“人类是否应该调整能源消费结构来应对全球变暖”这一问题，提出自己的观点，并说明理由。(4分)

17. 阅读图文材料，完成下列要求。(14分)

伊犁河是亚洲中部的一条国际河流，全长 1236km，流域面积 15.1 万 km²，是巴尔喀什湖的主要补给水源。下图示意伊犁河流域。



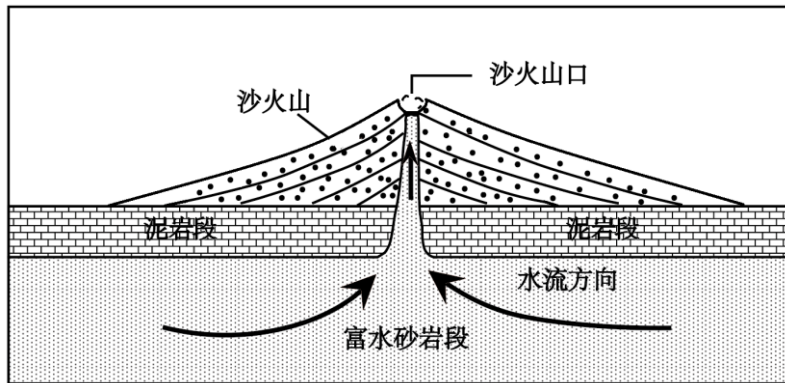
(1) 说明伊犁河成为巴尔喀什湖主要补给水源的原因。(4分)

(2) 比较巴尔喀什湖东西盐度差异性，并分析东西盐度差异大的原因。(6分)

(3) 说明巴尔喀什湖对周边地理环境的影响。(4分)

18. 阅读图文材料，完成下列要求。(14分)

2019年秋季，山东省菏泽市某乡村河道水位降低后，河床底部出现大量沙火山。沙火山是下层未固结砂岩液化后在压力作用下喷出地表形成的，上覆沉积层压力降低和季节性地下水位上升是形成砂体液化的主要原因。调查发现，该河道春季时曾进行了河道清淤，喷发时火山口涌出的水流前期浑浊，后逐渐变清，沉积物粒度较细，以粉砂和泥沙为主。下图为该地沙火山示意图。



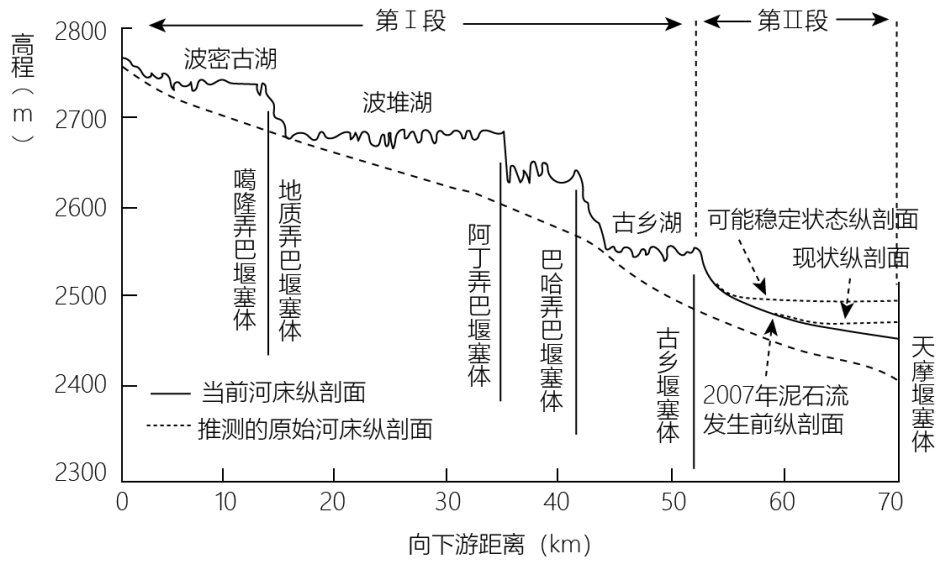
(1) 分析 2019 年秋季该地河床上沙火山形成出露的过程。(6 分)

(2) 分析山东菏泽某乡村河道沙火山口涌出水体由浊变清的原因。(4 分)

(3) 有学者于 2019 年冬季再次前往该地调查，发现沙火山已完全被夷平，推测其原因。(4 分)

19. 阅读图文材料，完成下列要求。(14 分)

在气候变化的大背景下，高海拔或高纬度山区（简称高山区），尤其在高山冰川、冻土急剧消退区常孕育适宜泥石流发育的动力、地形和物源等条件、当泥石流发生后，沟道经历强烈而短暂的冲淤变化过程，沟道上游物源区、沟道中游和沟道出口地貌发生变化。此外，大规模泥石流短时间内输送巨量泥沙进入主河，可能形成堰塞坝堵断主河，形成堰塞湖。下图示意青藏高原东南部的帕隆藏布江某段河床纵剖面。



(1) 解释高山区常发生泥石流的自然原因。(6分)

(2) 说明泥石流发生后，沟道上游物源区和沟道出口地貌的变化。(4分)

(3) 分析当前河床纵剖面形成的原因。(4分)